К статье Бахтерева В.В., Кузнецова А.Ж. – «Влияние Кушвинского сиенитового интрузива на электрические параметры магнетита в рудах и вмещающих породах Гороблагодатского железорудного месторождения»

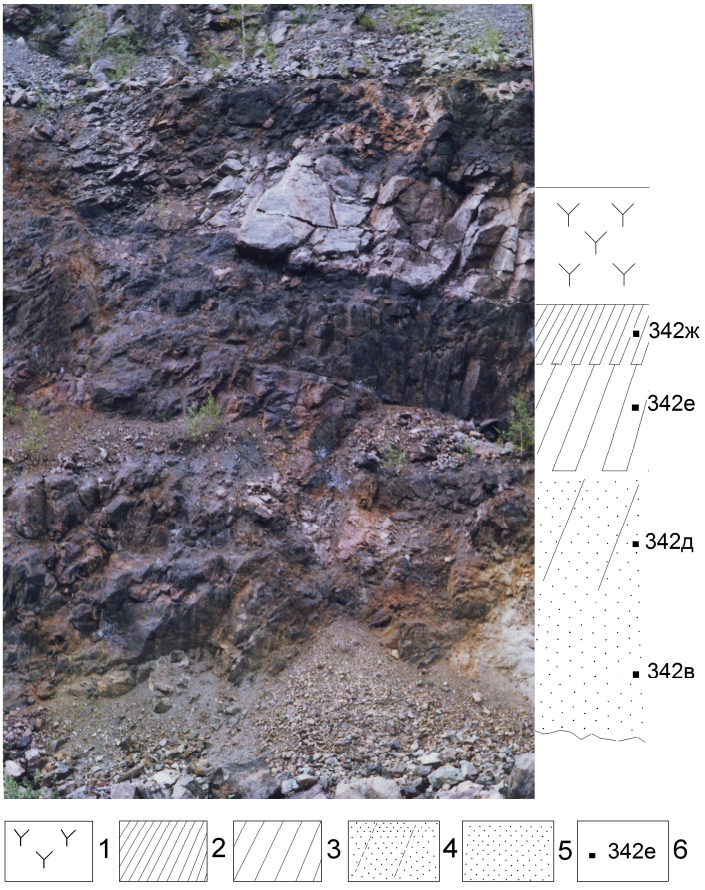

Рис. 1. Фотография обнажения и геологическая колонка зоны воздействия сиенитового расплава на магнетитовые руды и сульфидную минерализацию: 1 – дайка сиенит-порфиров; 2 – зона образования пироксен-магнетитовых руд; 3 – зона перекристаллизации магнетитовых руд и сульфидной минерализации (линзы пирита); 4 – руды не перекристаллизованы (пирит в форме тонкой вкрапленности); 5 – руды не перекристаллизованы (пирит в форме глодулей); 6 – номер и место отбора проб

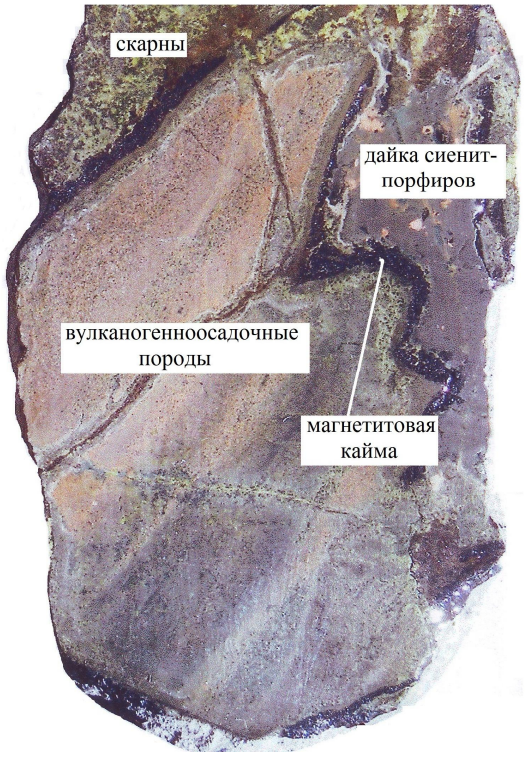

Рис. 2. Дайка сиенит-порфиров, внедрившаяся в толщу вулканогенноосадочных отложений, представленных породами песчано-алевролитовой размерности. Контакт сиенит-порфиров с окружающими ее породами посредством небольшой зоны (каймы), представленной магнетитом, переходит в интенсивно скарнированные породы. По периферии дайки магнетитовая кайма повторяет контуры магматического тела

К статье Колтышевой Е.С. – «Особенности геодинамического развития восточной части Восточно-Европейской платформы и Урала по геофизическим и палеотектоническим данным»

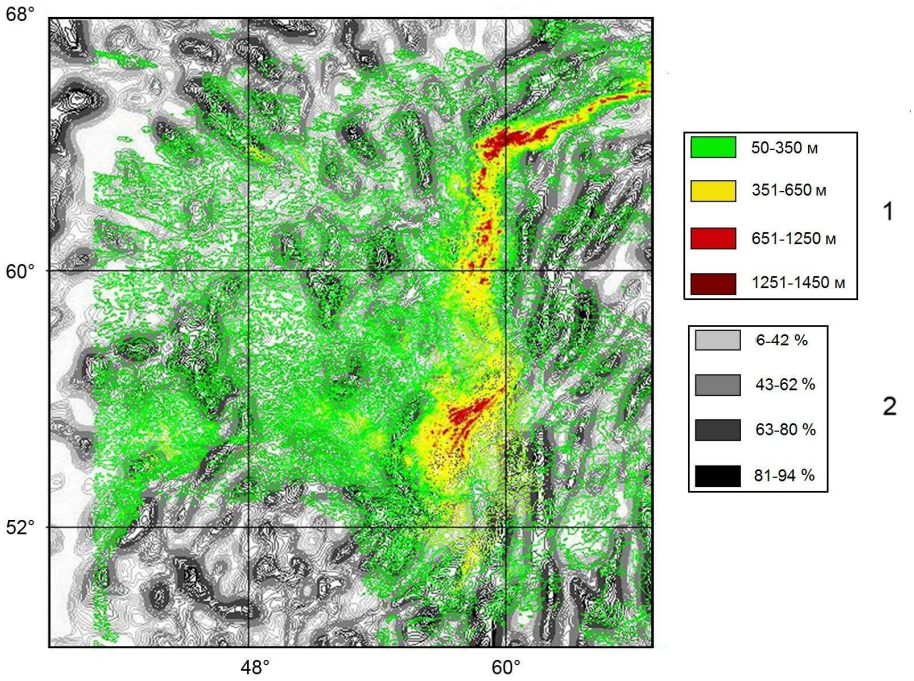

Рис. 3. Сопоставление карты современного дневного рельефа по (Овчаренко, 1996) и степени тектонической унаследованности: 1 – изолинии рельефа; 2 – изолинии коэффициента унаследованности

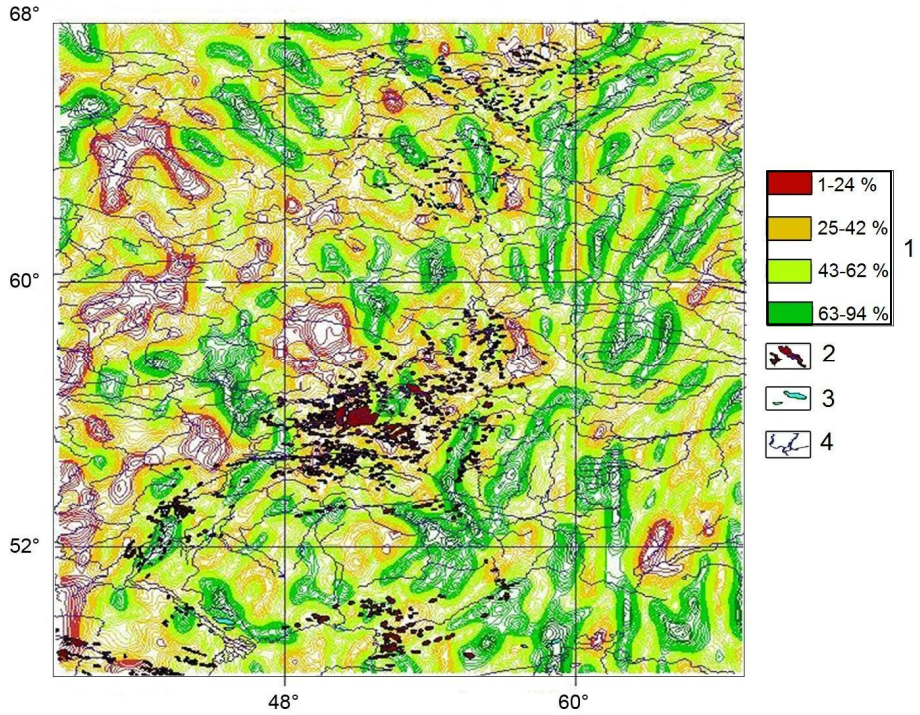

Рис. 4. Сопоставление карт нефтегазогеологического районирования Печорской плиты (Тимонин, 1998), Волго-Уральской антеклизы и Прикаспийской синеклизы (Перродон, 1994) и степени тектонической унаследованности: 1 – изолинии коэффициента унаследованности; 2 – нефтяные и нефтегазовые месторождения; 3 – газовые и газоконденсатные месторождения; 4 – реки

К статье Колтышевой Е.С. – «Особенности геодинамического развития восточной части Восточно-Европейской платформы и Урала по геофизическим и палеотектоническим данным»

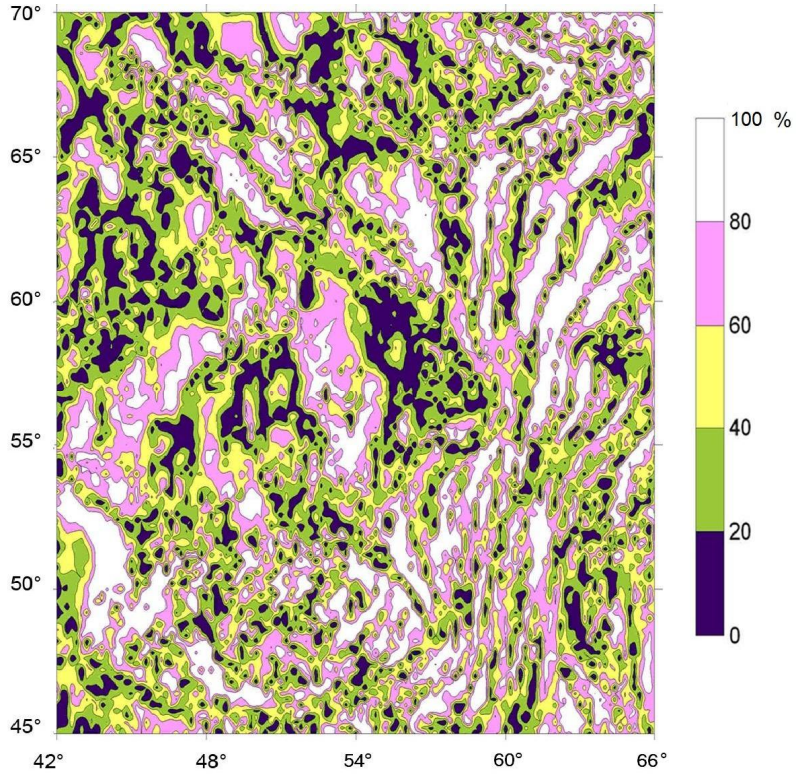

Рис. 1. Степень унаследованности вертикальных тектонических движений

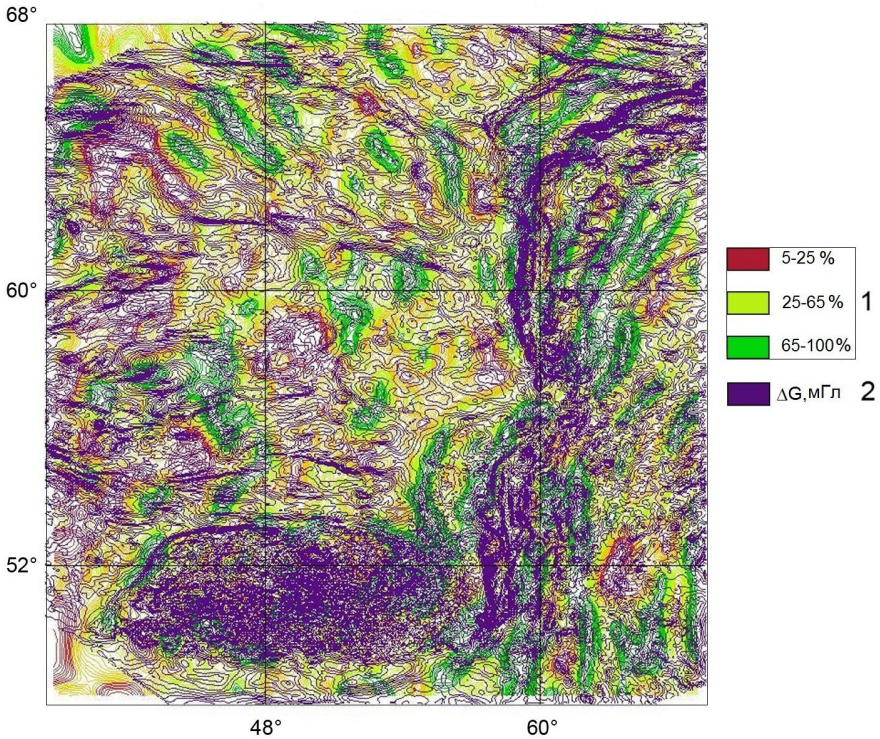

Рис. 2. Сопоставление карты гравитационного поля по (Овчаренко, 1996) и степени тектонической унаследованности: 1 – изолинии коэффициента унаследованности; 2 – изолинии ΔG через 5 мГл

К статье Мартышко П.С., Ладовского И.В., Колмогоровой В.В., Цидаева А.Г., Бызова Д.Д. – «Применение сеточных функции в задачах трехмерного плотностного моделирования»

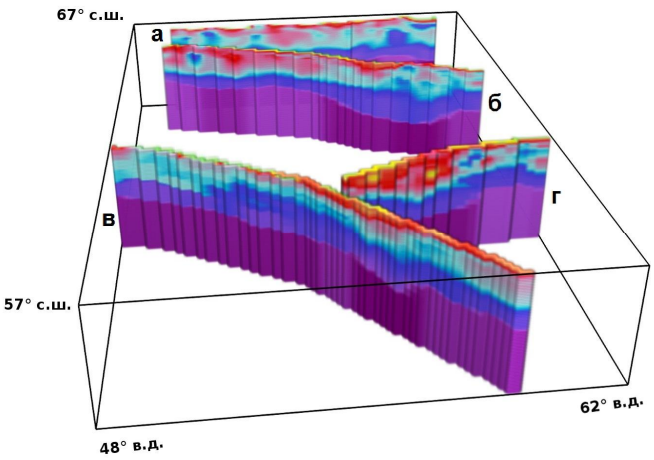

Рис. 2. Пространственное положение плотностных разрезов на цифровом планшете карты аномалий гравитационного поля в координатах 57–67° с.ш. и 48–62° в.д.: обозначение профилей см. рис. 1

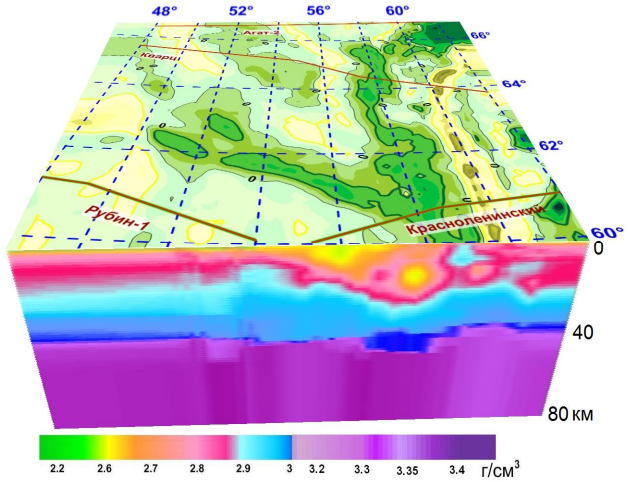

Рис. 3. Четырехмерный цифровой «куб» параметров (x, y, z, σ), построенный по интерполированному пакету сеточных функций на разноглубинных горизонтальных срезах; сверху наложен планшет схематического фрагмента карты аномалий гравитационного поля

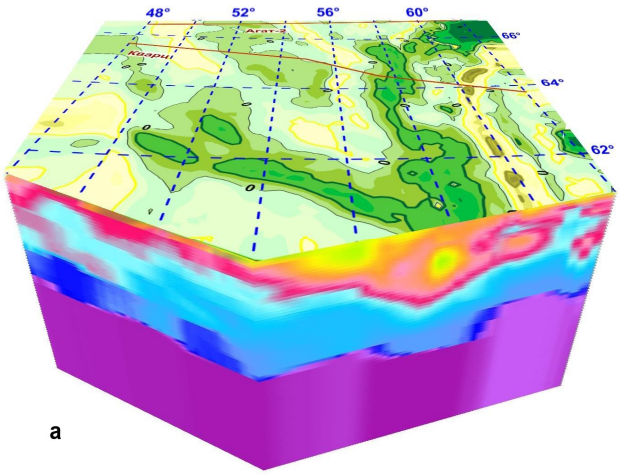

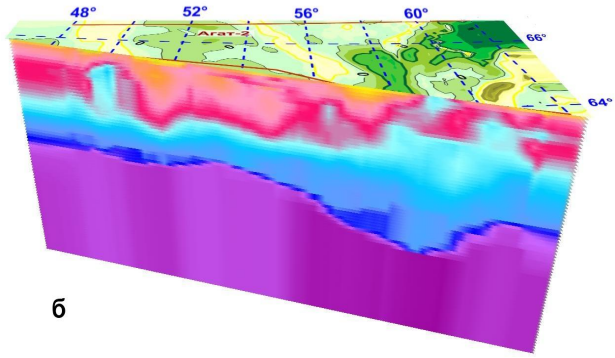

Рис. 4. Сечения цифрового куба по граничным «Surfer Bln»-файлам, задающим положение каждого конкретного профиля на исследуемой площади: а) сечение по профилям Рубин-1 и Красноленинский; б) сечение по профилю Кварц

К статье Мартышко П.С., Ладовского И.В., Колмогоровой В.В., Цидаева А.Г., Бызова Д.Д. – «Применение сеточных функций в задачах трехмерного плотностного моделирования»

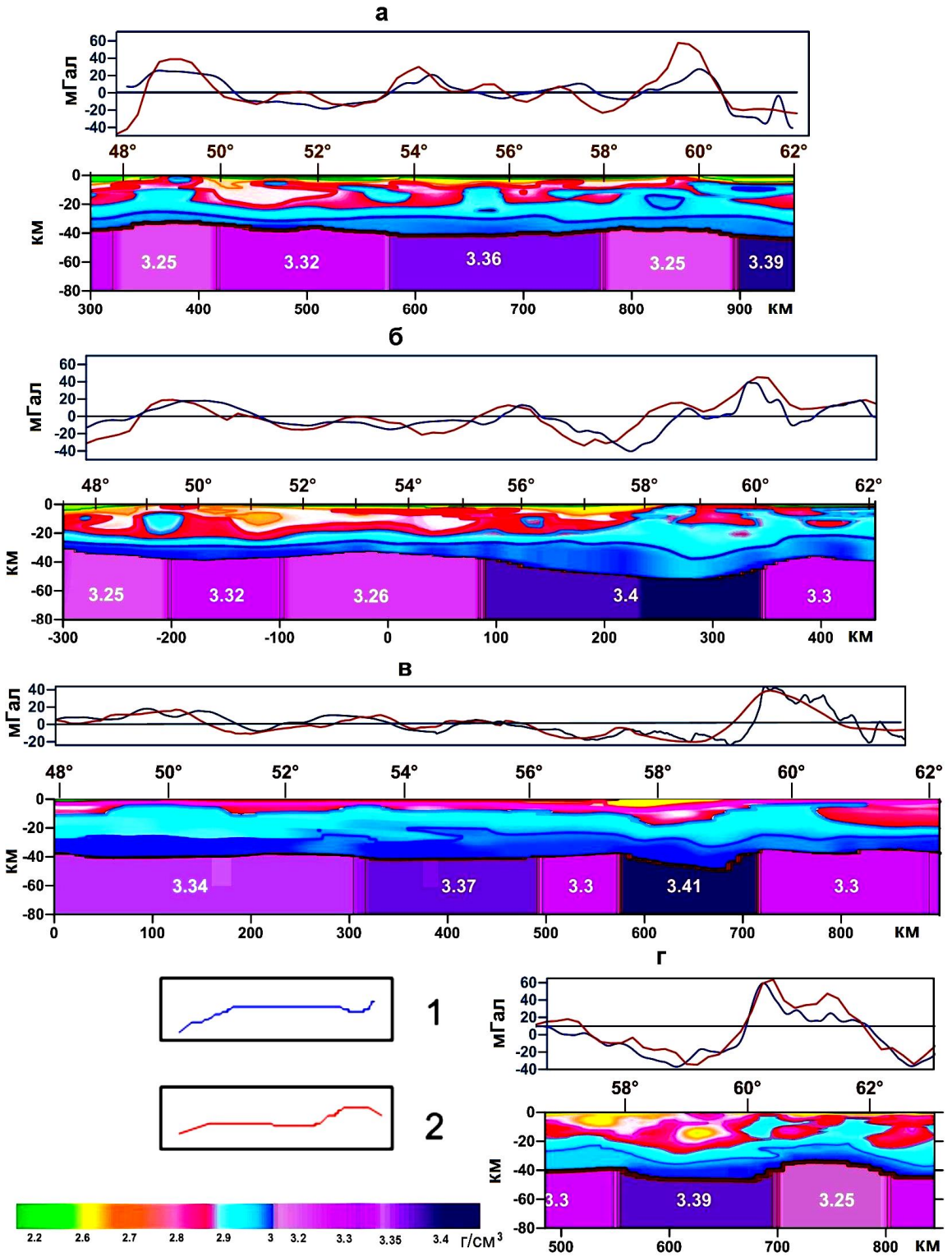

Рис. 1. Двумерные плотностные модели начального приближения строения земной коры и верхней мантии по фрагментам геотраверсов: Агат-2(а); Кварц(б); Рубин-1(в) и Краснолененинского профиля ГСЗ(г). Расчетное гравитационное поле моделей Δg до глубины 80 км (кривая 2) сопоставлено с наблюденными аномалиями Буге на уровне дневной поверхности (кривая 1)

К статье Федоровой Н.В., Носкевича В.В. – «Реконструкция планировки укрепленных поселений эпохи бронзы на Южном Урале (Ольгино и Коноплянка) по результатам детальной магнитной съемки»

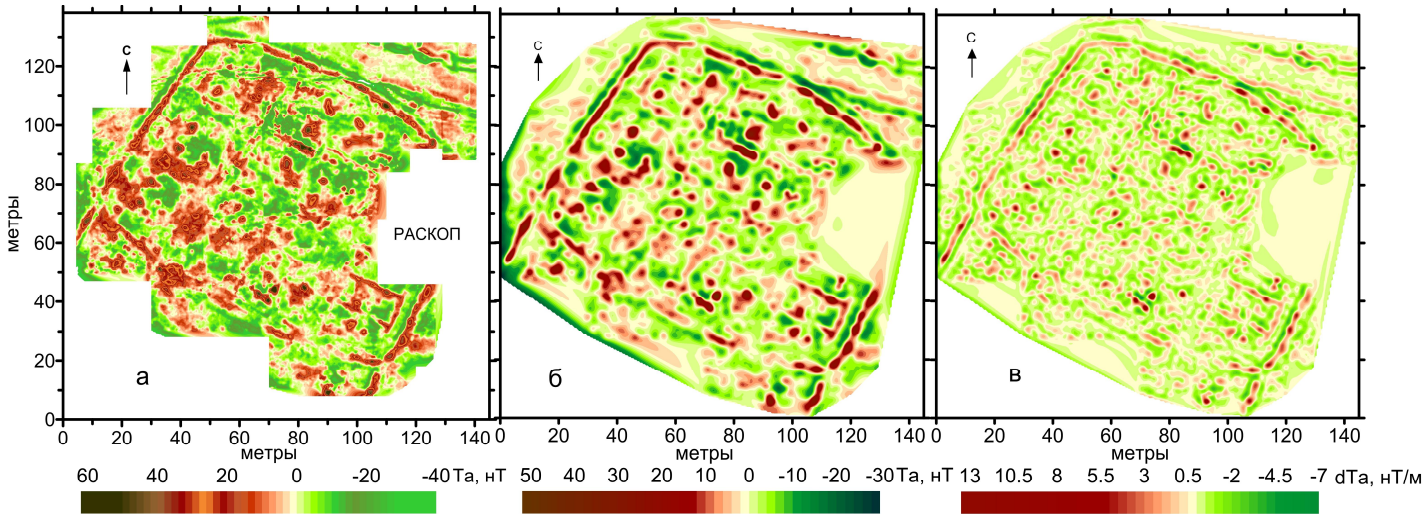

Рис. 1. Карты магнитных аномалий поселения Ольгино: а) исходные аномалии; б) аномалии протяженностью от 1,5 до 8 м; в) аномалии вертикального градиента

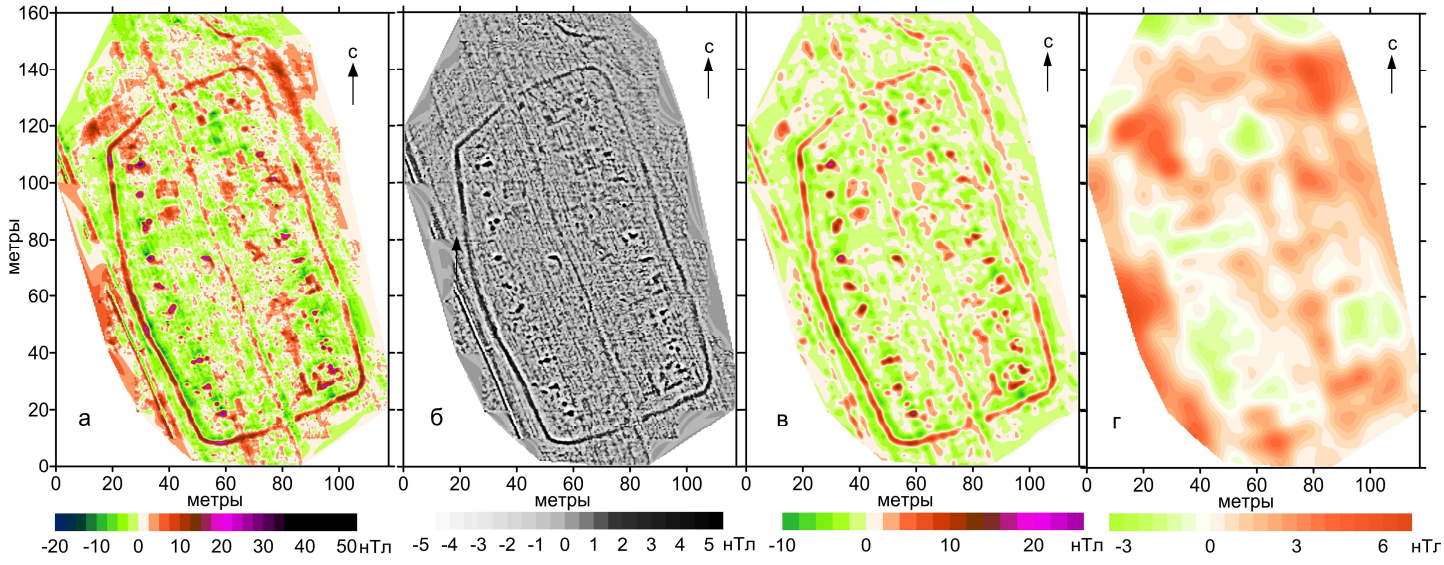

Рис. 2. Карты магнитных аномалий поселения Коноплянка: а) исходные аномалии; б) коротковолновые аномалии; в) аномалии протяженностью от 2 до 8 м; г) длинноволновые аномалии

К статье Мартышко П.С., Ладовского И.В., Колмогоровой В.В., Цидаева А.Г., Бызова Д.Д. – «Применение сеточных функций в задачах трехмерного плотностного моделирования»

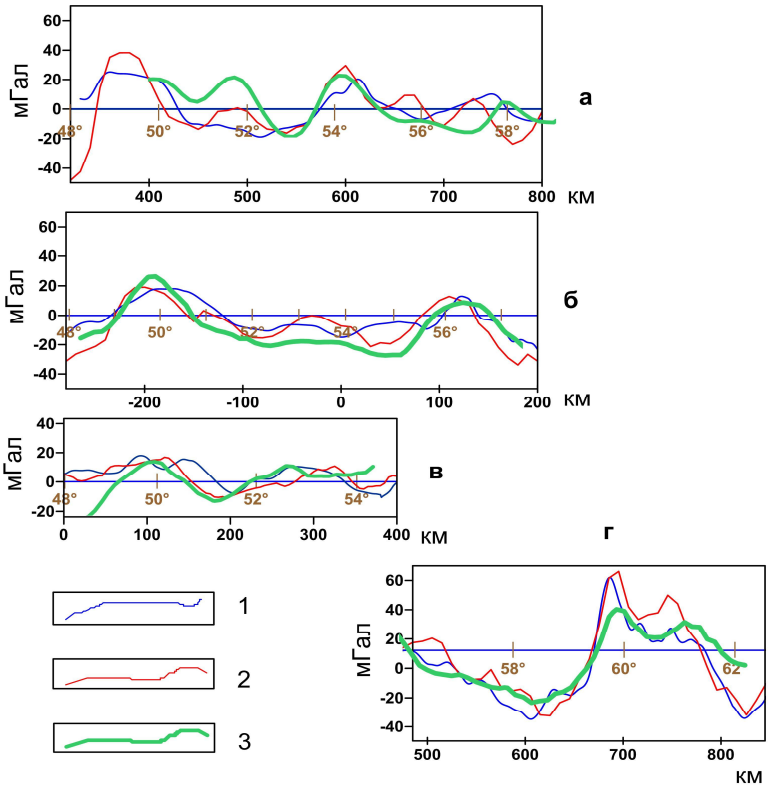

Рис. 5. Наблюденное гравитационное поле (кривая 1) и сопоставление расчетных аномалий поля Δ g по профилям для двумерной (кривая 2) и трехмерной (кривая 3) плотностной модели начального приближения; обозначение профилей см. рис. 1

К статье Федоровой Н.В., Носкевича В.В. – «Реконструкция планировки укрепленных поселений эпохи бронзы на Южном Урале (Ольгино и Коноплянка) по результатам ...»

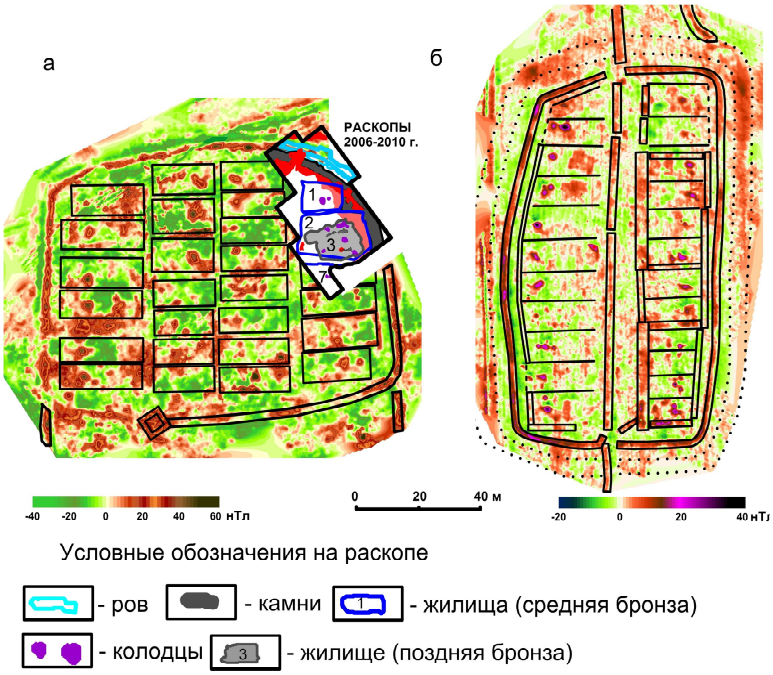

Рис. 3. Реконструкция внутренней структуры поселений по данным магнитной съемки: а) поселение Ольгино; б) поселение Коноплянка; условные обозначения: аномалии от оборонительной стены показаны двойной черной линией, от вала – точечным пунктиром; положение внутренних стен и контуры жилиц показаны черными линиями или прямоугольниками; 2, 7 – жилища